

Original Article

Mouse Peroxisomal Protein cDNA Cloning and Characterization of its Intracellular Localization

Somayeh Tanhaie, M.Sc.¹, Kamran Ghaedi, Ph.D.^{1,2*}, Khadijeh Karbalaii, M.Sc.¹,
Shanaz Razavi, Ph.D.³, Maryam Ostadsharif, M.Sc.^{1,4}, Maliheh Nazari-Jahantigh, B.Sc.^{1,2},
Farzaneh Rabeei, B.Sc.¹, Marziyeh Nematollahi, B.Sc.¹, Hossein Baharvand, Ph.D.⁵,
Mohammad Hossein Nasr Esfahani, Ph.D.^{1*}

1. Cell and Molecular Biology Department, Royan Institute for Animal Biotechnology, ACECR, Isfahan, Iran
2. Biology Department, School of Sciences, University of Isfahan, Isfahan, Iran
3. Anatomy Department, School of Medicine, Isfahan University of Medical Sciences, Isfahan, Iran
4. Basic Medical sciences Department, School of Midwifery and Nursery, Islamic Azad University (Khorasgan Branch), Khorasgan, Iran
5. Stem Cells and Developmental Biology Department, Royan Institute for Stem Cell Biology and Technology, ACECR, Tehran, Iran

* Corresponding Addresses: P.O.Box: 19395-4644, Cell and Molecular Biology Department, Royan Institute for Animal Biotechnology, ACECR, Isfahan, Iran
Email: kamranghaedi@royaninstitute.org
Email: mh.nasr-esfahani@royaninstitute.org

Received: 3/Apr/2008, Accepted: 21/Sep/2008

Abstract

Objective: The aim of this study was to clone peroxisomal protein (PEP) cDNA in a mammalian expression vector in a chimeric cDNA type, with enhanced green fluorescent protein (EGFP) cDNA. To investigate the intracellular localization of PEP protein linked to EGFP marker, the constructed plasmid was used for transfection into the Chinese hamster ovary (CHO) cells.

Materials and Methods: Total RNA was extracted from the heart tissue of an adult mouse. PEP cDNA was constructed using reverse transcriptase and was amplified with specific primers covering the entire length of ORF. RT-PCR products containing PEP cDNA were treated by enzymatic digestion and inserted into the pEGFP-C1 downstream of EGFP cDNA and were used for transformation into bacterial competent cells. The positive colonies which showed inserted PEP cDNA were selected for plasmid preparations and additional analysis was performed to ensure that PEP cDNA was inserted properly. Finally, to confirm the intracellular localization of EGFP-PEP, CHO cells were transfected with the constructed plasmid.

Results: Our results confirmed amplification and cloning of the expected product. PEP cDNA encompasses 630 bp which encodes 209 amino acid residues. Bioinformatics analyses have shown the presence of a fibronectin type III domain (31-114 a.a.) and two hydrophobic domains (12-32 a.a. and 152-169 a.a., respectively). Because of the presence of serine, Lysine, leucine (SKI) in the C-terminal of the related protein, transfection data showed peroxisomal localization of PEP as was similar to the catalase.

Conclusion: Taken together these data showed that PEP is a peroxisomal protein. However the importance of its fibronectin type III and two hydrophobic domains should be assessed by further experiments.

Keywords: Fibronectin, Peroxisome, Peroxisome Targeting Signal 1

Yakhteh Medical Journal, Vol 11, No 2, Summer 2009, Pages: 196-203

کلونینگ cDNA پروتئین پراکسیزومی موش و بررسی جای‌گیری درون سلولی آن

سمیه تنهایی.^۱، کامران قائدی M.Sc.^۲، خدیجه کربلایی Ph.D.^۳، شهناز رضوی M.Sc.^۴، مریم استاد شریف Ph.D.^۵، ملیحه نظری جهان‌تیغ B.Sc.^۶، فرزانه ربیعی B.Sc.^۷، مرضیه نعمت‌اللهی B.Sc.^۸، حسین بهاروند Ph.D.^۹، محمد حسین نصر اصفهانی Ph.D.^{*}

۱. پژوهشکده رویان، مرکز تحقیقات علوم سلولی جهاددانشگاهی، گروه زیست شناسی سلولی و مولکولی، اصفهان، ایران
۲. دانشگاه اصفهان، دانشکده علوم، گروه زیست شناسی، اصفهان، ایران
۳. دانشگاه علوم پزشکی اصفهان، دانشکده پزشکی، گروه آناتومی، اصفهان، ایران
۴. دانشگاه آزاد اسلامی، واحد خوراسگان، دانشکده پرستاری و مامایی، گروه علوم پایه پزشکی، اصفهان، ایران
۵. پژوهشکده رویان، مرکز تحقیقات علوم سلولی جهاددانشگاهی، گروه سلول‌های بنیادی و زیست شناسی تکوینی، تهران، ایران

* آدرس نویسنده‌گان مسئول: اصفهان، ایران، صندوق پستی: ۱۹۳۹۵-۴۴۶، پژوهشکده رویان، مرکز تحقیقات علوم سلولی جهاددانشگاهی، گروه زیست شناسی سلولی و مولکولی

Emails: kamranghaedi@royaninstitute.org

mh.nasr-esfahani@royaninstitute.org

دریافت مقاله: ۸۷/۱/۱۵، پذیرش مقاله: ۸۷/۶/۳۱

چکیده

* هدف: کلون نمودن cDNA پروتئین پراکسیزومی در پلاسمید یوکاریوتی بیان C1 EGFP-C1 و بررسی الگوی بیان ژن Peroxisomal Protein (PEP)

* مواد و روش‌ها: پس از استخراج RNA کل سلول از قلب موش بالغ، مربوطه تهیه شد و با استفاده از پرایمرهای اختصاصی تکثیر PEP cDNA صورت گرفت. PEP تکثیر شده پس از هضم آنزیمی در پلاسمید EGFP-C1 قرار گرفت. باکتری‌های مثبت دارای پلاسمید نو ترکیب با آزمون PCR انتخاب و تکثیر گردیدند و بر روی پلاسمید خالص شده از آنها تست‌های هضم آنزیمی و تعیین توالی انجام شد. برای بررسی الگوی بیان PEP درون سلول‌های CHO، این سلول‌ها با میکروگرم پلاسمید و ۱۰ میکرولیتر لیپوفکتانین ۲۰۰۰ ترانس‌فکت شدند.

* یافته‌ها: نتایج هضم آنزیمی و تعیین توالی ثابت کرد که قطعه تکثیر و کلون شده همان PEP cDNA می‌باشد. این ۶۳۰ cDNA جفت‌بازی کد کننده ۲۰۹ اسید‌آmine است که بررسی‌های بیوانفورماتیکی نشان دهنده وجود یک دامنه فیرونکتین نوع ۳ از اسید‌آmine ۳۱ تا ۱۱۴ و با احتمال بسیار زیاد دو دامنه آلفا‌هیلیکس درون غشایی آب‌گریز از اسید‌آmine ۱۲ تا ۳۲ و ۱۵۲ تا ۱۶۹ در آن می‌باشد. نتایج ترانس‌فکشن سلولی به همراه زنگ‌آیزی اختصاصی کاتالاز ثابت می‌کند که این پروتئین با سیگنال انتهای کربوکسیل خود، (Serine Lysine Lucine; SKL)، به درون اندامک پراکسیزوم منتقل می‌شود.

* نتیجه‌گیری: مطالعات اثبات می‌کند که PEP یک پروتئین پراکسیزومی است؛ هرچند این پروتئین یک دامنه فیرونکتین نوع ۳ و دو دامنه آب‌گریز دارد که نقش آنها هنوز نامشخص است.

کلیدواژگان: فیرونکتین، پراکسیزوم، سیگنال PTS1

— فصلنامه پزشکی یاخته، سال یازدهم، شماره ۲، تابستان ۸۸، صفحات: ۱۹۶-۲۰۳ —

می‌باشدند که در آنها جهش‌های مختلف در ژن‌های مسئول بیوژن پراکسیزوم (PEX) صورت گرفته است (۶-۱۰). از آنجا که پراکسیزوم فاقد هرگونه ماده ژنتیکی است، پروتئین‌های پراکسیزومی توسط ژن‌های هسته‌ای کد و بر روی پلی‌ریبوزوم‌های آزاد سیتوزول ترجمه شده و پس از آن به داخل پراکسیزوم‌هایی که از قبل در سیتوزول وجود داشته‌اند، منتقل می‌گردند (۶، ۹). انتقال اکثر پروتئین‌های پراکسیزومی به ماتریکس پراکسیزوم از طریق سیگنال هدف یا ب پراکسیزومی نوع یک (PTS1; Peroxisomal Targeting Signal Type I; PTS1) (Serine Lysine Lucine; SKL) شامل سه اسید‌آmine سرین، لیزین و لوسین (Serine Lysine Lucine; SKL) نیز انتها در انتهای کربوکسیل پروتئین‌ها صورت یا اسیدهای آmine مشابه آنها در انتهای کربوکسیل پروتئین‌ها نیز می‌گیرد (۱۱-۱۴). گروهی از پروتئین‌های ماتریکس پراکسیزومی نیز برای ورود به پراکسیزوم واجد توالی ۹ اسید‌آmine‌ای قابل شکست در

مقدمه

پراکسیزوم‌ها اندامک‌های تک‌غشایی کروی شکل داخل سلولی هستند که به قطر یک الی یک دهم میکرومتر می‌باشند و در تمام سلول‌های یوکاریوتی، از مخمر تا انسان، وجود دارند (۱). اگر چه واکنش‌های سمزدایی و دفاع در مقابل استرس‌های اکسیداتیو از مهم ترین اعمال شناخته شده پراکسیزوم‌ها می‌باشد اما در این ارگان با وجود آنژیم‌های مختلف، واکنش‌های متابولیک متعددی از جمله بتا اکسیداسیون بسیاری از اسیدهای چرب بلند زنجبیر و بیوستتر پلاسمالوژن‌ها نیز انجام می‌شود (۲-۵). اهمیت نقش عملکردی پراکسیزوم‌ها در بیماری‌های ژنتیکی از قبیل سندروم زلوگر مشخص می‌گردد (۲، ۳).

بیماری‌های بیوژن پراکسیزومی گروهی از بیماری‌های ژنتیکی

با برنامه دناتوراسیون اولیه ۴ دقیقه ۹۴ درجه سانتی گراد و سپس ۳۵ سیکل به ترتیب ۹۴ درجه سانتی گراد به مدت ۱ دقیقه، ۶۰ درجه سانتی گراد به مدت ۱ دقیقه، ۷۲ درجه سانتی گراد به مدت ۱ دقیقه و سرانجام مرحله پایانی ۷۲ دقیقه انجام شد (Thermal cycler Eppendorf (Dستگاه PCR). هم زمان واکنش (RT-PCR با پرایمرهای اختصاصی beta-Tubulin F و beta-Tubulin R برای ژن ۵ (جدول ۱) به منظور تایید صحت سنتر cDNA مخصوص PCR بر روی ژل آگاروز ادرصد الکتروفورز شد. محصولات PCR را در مذمتی مربوط به این ژن را مستقیماً در وکتور بیانی pEGFP-C1 پایین دست ژن EGFP (Enhanced Green Fluorescent Protein) کلون و سپس در شدند.

هضم آنزیمی

برای تایید قطعه PEP cDNA تکثیر یافته به عنوان محصول نهایی واکنش RT-PCR، از آنزیم (Fermentas) Pvu II استفاده شد.

ساخت پلاسمید بیانی حامل EGFP-PEP

محصول PCR مربوط به PEP cDNA که در واکنش PCR به واسطه پرایمرهای pep-F Bgl II و pep-R Sal I در ابتدا و انتهای خود به ترتیب حامل جایگاههای برش دو آنزیم Bgl II و Sal I گردیده بود، توسط آنزیم‌های (Fermentas) Bgl II و Sal I (TaKaRa) برش یافته و پس از تخلیص در پلاسمید بیانی pEGFP-C1 (Clontech) در جایگاه آنزیم‌های مذکور قرار گرفت. عمل اتصال قطعه تکثیر یافته به پلاسمید بیانی با کیت -Liga One Shot TOP 10 Chemically competent (Invitrogen) به روش شوک حرارتی با پلاسمید حاصله تراسفورم گردیدند.

از بین کلونی‌های رشد کرده بر روی محیط کشت 2YT حاوی کانامایسین ۳۰ میکرو گرم در هر میلی لیتر (GIBCO)، کلونی‌های حاوی پلاسمید با استفاده از واکنش PCR با پرایمرهای Bgl II و Sal I انتخاب شدند.

DNA تعیین توالی

دو کلونی حاوی PEP cDNA برای تعیین توالی با استفاده از ۴ پرایمر R, Bgl II, Sal I, EGFP-C1 F و EGFP-C1 R به شرکت تکاپوزیست ارسال گردید.

انتهای آمینی پروتئین به نام سیگنال هدف یاب پراکسیزومی نوع دوم (PTS2) می‌باشد (۳، ۴، ۱۱، ۱۲، ۱۵).

پروتئین پراکسیزومی (Peroxisomal Protein; PEP) یکی از پروتئین‌های ماتریکس پراکسیزومی است که در سال ۲۰۰۲ توسط فرماراتیز و همکارانش توالي آن شناسایی و کلون گردید (۱۶). از مجموع مقایلات محدود قبلی به نظر می‌رسد که این پروتئین در طی رشد و تکامل مخصوصاً نقش مهمی داشته باشد (۱۶). لذا جهت طلالات زمینه‌ای در سلول‌های بینادی، بر آن شدید که cDNA مربوط به این ژن را مستقیماً در وکتور بیانی pEGFP-C1 پایین دست ژن EGFP (Chinese Hamster Ovary) CHO سلول EGFP-C1 دارای ژن کدکننده پروتئین سبز فلورسانس است که به راحتی می‌توان به واسطه آن محصول ژن کلون شده را شناسایی نمود. در نهایت بیان ژن PEP و جایگیری آن در پراکسیزوم به کمک بیان پروتئین نوترکیب حاوی EGFP قرار گرفته در بالا دست این ژن واکیت‌نویسی‌شیمی برای آنزیم پراکسیزومی کاتالاز بررسی شد.

مواد و روش‌ها

مدل حیوانی و استخراج RNA

پس از جداسازی بافت قلب از یک موش نژاد سوری، بافت قطعه گردید و با سرم فیزیولوژی سرد شست و شو داده شد. به قطعات بافتی یک میلی لیتر از محلول RNX-PLUS (سیناژن، ایران) اضافه و کل RNA سلولی به وسیله کیت مذکور استخراج شد. غلاظت RNA تخلیص شده با دستگاه اسپکتروفوتومتری ارزیابی و RNA تخلیص شده با الکتروفورز افقی نیز مورد بررسی قرار گرفت.

سنتز RT-PCR و cDNA

۲ میکرو گرم RNA استخراج شده جهت حذف آلدگی به DNA ژنومی با آنزیم (Fermentas) I از مدت ۳۰ دقیقه در ۳۷ درجه سانتی گراد تیمار و از آن برای سنتر cDNA با استفاده از کیت سنتر (Fermentas) cDNA و الیکومرهای (Fermentas) dT به عنوان پرایمر استفاده شد. پس از آن واکنش PCR با دو میکرولیتر از cDNA سنتز شده، ۵ پیکرومولار پرایمرهای Bgl II و Sal I (Fermentas) (جدول ۱) و ۱/۲۵ واحد آنزیمی آنزیم Pfu (Fermentas) از شرکت تکاپوزیست ارسال گردید.

جدول ۱: قسمتی که با زیر خط مشخص شده است منطبق با توالی PEP cDNA می‌باشد.

نام پرایمر	توالی پرایمر	حروف ضخیم
pep-F Bgl II	5'-ATT AGA TCT CCC CCA GGG CCG TGC GCC-3'	Bgl II
pep-R Sal I	5'-AAA AGT CGA CTC ATA TCT TGC TGC GGA GGA GA-3'	Sal I
EGFP-C1 F	5'-AAC GAG AAG CGC GAT CAC ATG G-3'	
EGFP-C1 R	5'-GCA ATA AAC AAG TTA ACA ACA AC-3'	
β tubulin F	5'-TCA CTG TGC CTG AAC TTA CC-3'	
β tubulin R	5'-GGA ACA TAG CCG TAA ACT G C-3'	

روطوبت و ۵ درصد CO_2 کشت داده شد. پس از آن محیط ترانس‌فکت حذف و محیط کشت معمول سلول CHO به هرخانه اضافه و سلول‌ها برای ادامه کشت به انکوباتور منتقل گردید. ۴۸ ساعت پس از ترانس‌فکت، به منظور بررسی بیان ژن پراکسیزومی EGFP-PEP در سلول‌های ترانس‌فکت شده، این سلول‌ها با محلول پارافرمالدئید ۴ درصد (Sigma) فیکس و جهت ردیابی مارکر پراکسیزومی کاتالاز در سلول‌های مذکور، ایمنوستیتوشیمی با آنتی‌بادی اختصاصی (abcam 1:300) و آنتی‌بادی ثانویه (Amersham 1:400) و lase Donkey Anti Rabbit Texas Red نتایج با استفاده از میکروسکوپ Flourescent Olympus BX5 مشاهده شد.

این طرح مصوبه کمیته اخلاق پژوهشکده رویان است.

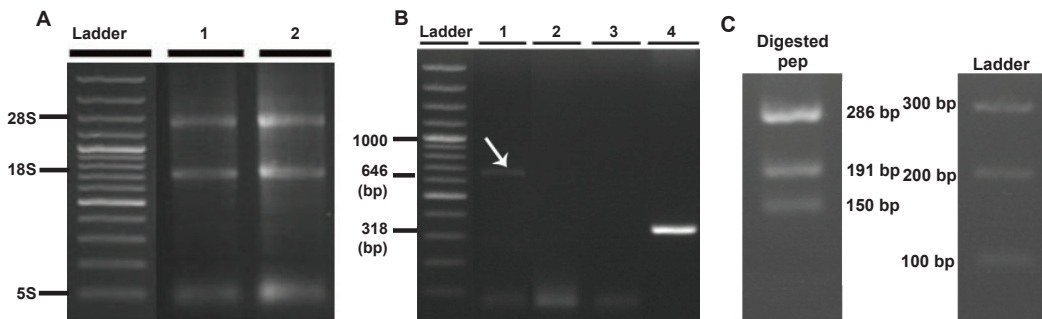
یافته‌ها

جدا نمودن RNA کلی سلول و RT-PCR

شکل ۱A، RNA استخراج شده از بافت قلب را نشان می‌دهد. در هر دو نمونه استخراج شده باندهای 28S, 18S and 5S ribosomal RNA به واضح دیده می‌شود و عدم وجود باندهای دیگر نشان دهنده کیفیت بالای RNA تخلیص شده می‌باشد. ضمناً وجود نشانگر DNA در ژل در کنار RNA تنها به منظور نشان دادن کیفیت بالای ژل مورد استفاده قرار گرفته شده است و جنبه مقایسه‌ای ندارد.

در شکل ۱B، باند ۶۳۰ جفت بازی درستون ۱ احتمالاً بیان کننده تکثیر PEP cDNA با الگوی cDNA سنتز شده از RNA بافتی می‌باشد. در این واکنش از آب مقطر به عنوان نمونه کنترل منفی (ستون ۲) و از نمونه ای که در مرحله سنتز به آن آنزیم Reverse Transcriptase اضافه نشده بود به عنوان RT منفی استفاده شد (ستون ۳). عدم وجود باند پس از PCR در این دو نمونه به ترتیب بیانگر عدم آلدگی و عدم تکثیر احتمالی PEP از روی DNA ژنومی می‌باشد. باند ۳۱۸ جفت باز در ستون ۴ شکل ۱B، مربوط به PCR قطعه‌ای از ۵ cDNA β -tubulin با استفاده از پرایمرهای اختصاصی بتاکوبولین است که نشان دهنده صحت و کیفیت مراحل کار می‌باشد.

شکل ۱C، نتیجه برش محصول PCR مربوط به PEP cDNA با آنزیم Pvu II را نشان می‌دهد. قطعات ۱۹۱ و ۲۸۶ و ۲۸۶ و ۱۵۰ و ۳۱۸ مربوط به مطابق قطعات مورد انتظار حاصل از شکست دو جایگاه برش آنزیم Pvu II در ۵ cDNA PEP می‌باشد.



شکل ۱: A. استخراج RNA از بافت قلب، نتایج استخراج RNA از بافت قلب موش. مارکر ۱۰۰ جفت باز فرمنتاز، ۱. نمونه شماره ۱ و ۲. نمونه شماره ۲. B. محصولات PCR، مارکر ۱۰۰ جفت باز فرمنتاز، ۱. تکثیر cDNA با پرایمرهای اختصاصی PEP، ۲. نمونه RT، ۳. نمونه کنترل منفی، ۴. تکثیر cDNA با پرایمرهای اختصاصی بتاکوبولین Pvu II. C. نتیجه حضم آنزیمی محصول تکثیر PEP cDNA با آنزیم Pvu II

طراحی پرایمر

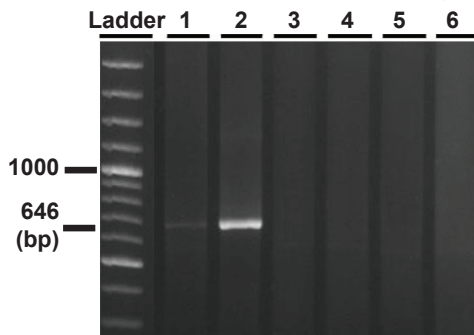
طراحی پرایمر با توجه به توالی‌های cDNA PEP (NM_027402)، پلاسمید Clontech, catalog) EGFP-C1 (#6084-1 GenBank Accession #: U55763) و β -tubulin (NM_011655O Oligo 6.2 با استفاده از نرمافزار (http://www.biocenter.helsinki.fi/bi/bare-1_html/oligos.htm) انجام شد. پرایمرهای سنتز شده از شرکت Pioneer با واسطه شرکت تکاپوزیست خردباری شد. برای آنالیز توالی اسیدهای آمینه پروتئین PEP از نرمافزار Bio Edit Version 7.0.4 (<http://www.mbio.ncsu.edu/BioEdit/bioedit.htm>) و برای بررسی بیشتر ساختار پروتئینی و آنالیز بیانفورماتیک آن از نرمافزارهای TMpred (<http://www.ch.embnet.org/software/>) و SMART (<http://smart.embl-heidelberg.de>) استفاده شد.

کشت سلولی و ترانس‌فکت شدن سلول

ردیابی سلولی CHO از پژوهشکده رویان تهران تهیه گردید. سلول‌های CHO در محیط کشت (Gibco) در انکوباتور با ۵% CO_2 و دمای ۳۷ درجه سانتی‌گراد و رطوبت ۹۵% درصد کشت داده شد. پس از مفروش شدن کف فلاسک، سلول‌ها به کمک -Try/EDTA (Gib) تریپسینه و پس از شمارش سلولی، تعداد 9×10^3 سلول در هر خانه دیش‌های ۶ که از قبل لامل گذاری (لامل ۲۴×۲۴ میلی‌متر) شده بودند، کشت داده شد. پس از اینکه سلول‌ها ۵۰-۶۰ درصد کف دیش را پر کردند، ابتدا ۲۵۰ میکرولیتر محلول Opti-MEM (محلول پلاسمید) ۱ حاوی ۴ میکروگرم پلاسمید EGFP-PEP (محلول پلاسمید) و ۲۵۰ میکرولیتر محلول ۱۰ میکرولیتر Opti-MEM (محلول Lipofectamine 2000) (Invitrogen) شد. پس از انکوباسیون دو محلول در دمای اتاق به مدت ۵ دقیقه، این دو محلول با یکدیگر مخلوط (محلول ترانس‌فکت) و محلول حاصله به مدت ۲۰ دقیقه دیگر در دمای اتاق انکوبه شد. سپس محیط کشت سلول‌ها حذف گردید و سلول‌ها به آرامی با محیط کشت Opti-MEM (Gibco) فاقد سرم و آنتی‌بیوتیک شست و شو داده شد. در نهایت محلول ترانس‌فکت همراه با ۲ میلی‌لیتر محیط Opti-MEM به هر خانه اضافه شد. سلول‌ها با این محیط به مدت ۳ ساعت در انکوباتور ۳۷ درجه سانتی‌گراد و ۹۵ درصد

کلونینگ PEP cDNA موش

دارد. تعیین توالی پلاسمید نوترکیب با پرایمرهای F و EGFP-C1 F نشان داد که PEP cDNA در وکتور EGFP-C1 R به صورت هم خوانش با زن EGFP قرار گرفته است.



شکل ۲: نتایج بررسی وجود PEP cDNA در کلونی‌های حاصل از ترانس‌فورم باکتریایی با استفاده از PCR. همانطور که ملاحظه می‌شود ستون‌های ۳ تا ۶ کلونی‌های فاقد PEP cDNA و ستون‌های ۱ و ۲ دو کلونی حاوی PEP cDNA می‌باشند.

ساب کلون کردن PEP cDNA در وکتور بیانی pEGFP-C1 پس از انتقال محصول PCR مربوط به PEP cDNA به وکتور بیانی pEGFP-C1 و ترانس‌فورم باکتریایی، ۲۵ کلونی در محیط حاوی آنتی‌بیوتیک رشد کردند.

جهت تایید نهایی وجود PEP cDNA در کلونی‌های به دست آمده واکنش PCR با پرایمرهای pep-R SalI و pep-F BglII برای این کلونی‌ها صورت گرفت که نتایج آن موید وجود ۸ کلونی حاوی پلاسمید نوترکیب بود. در شکل ۲ نتیجه تایید وجود PEP cDNA در دو کلونی از میان شش کلونی به عنوان نمونه نشان داده شده است.

تعیین توالی

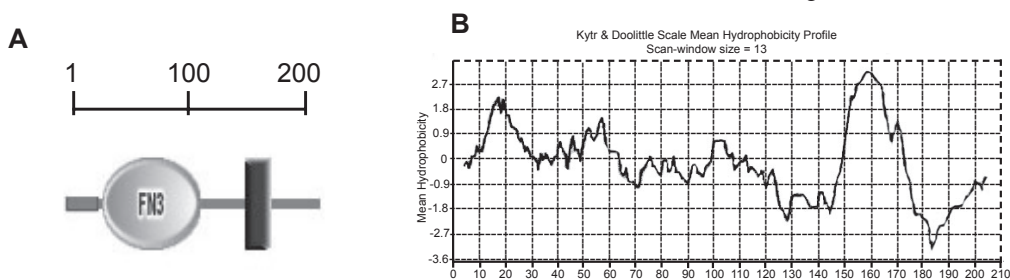
شکل ۳، توالی ۶۳۰ جفت بازی PEP cDNA را نشان می‌دهد که با توالی گزارش شده درمقاله فرمارتینز و همکارانش مطابقت دارد (۱۶). لازم به ذکر است در انتهای کربوکسیل ژن توالی AGCAAGATA که به اسیدهای آمینه سرین-لیزین-ایزولوسین (SKI) ترجمه می‌شود و شبیه به توالی حفظ شده PTS1 وجود

```

ATGCCGCCAGGGCGCTGCGCCTGGCCGCCCGCGCGCTCCGCCTGTGGCTAGGCTGCGCTTGCGCTCGCGCTG
M P P G P C A W P P R A A L R L W L G C V C F A L
GTGCAGGCGGACAGCCCCCTCAGCCCCGTGAACGTGACCGTCCGGCACCTCAAGGCCAACTCTGCCGTGGTCAGC
V Q A D S P S A P V N V T V R H L K A N S A V V S
TGGGATGTCCTGGAGGATGAAGTGGTCATTGGCTTGCCATCTCTCAGCAGAAGAGGGATGTGCGGATGCTCCGG
W D V L E D E V V I G F A I S Q Q K K D V R M L R
TTCATTCAGGAGGTGAACACCACCCCGGCTCGCGCTCTGGGACCTGGAGGGACACAGAAATATATCGCT
F I Q E V N T T R S C A L W D L E E D T E Y I V
CATGTGCAGGCCATCTCCATCCAGGGCACAGGCCAGCCAGTGAAGGCTGTGCTCTCAAGACCCCACCGCAGGG
H V Q A I S I Q G Q S P A S E P V L F K T P R E A
GAAAAGATGGCTCAAAGAACAAAGATGAGGTGACCATGAAGGGATGGGGAGAACAGCAGCTGCGAACGGGG
E K M A S K N K D E V T M K E M G R N Q Q L R T G
GAGGTGCTGATCATTGGCTCTTCATGTGGGAGGTGTATAGCTCTGGCCAGTATGATATC
E V L I I V V V L F M W A G V I A L F C R Q Y D I
ATCAAGGACAACGAGCCAATAACACAAAGGGAAACCAAGAGCGCATCAGAACAGCACACCGGAGCATCAG
I K D N E P N N N K E K T K S A S E T S T P E H Q
GGTGGGGTCTCCCGCAGCAAGATAATGA
G G G L L R S K I *

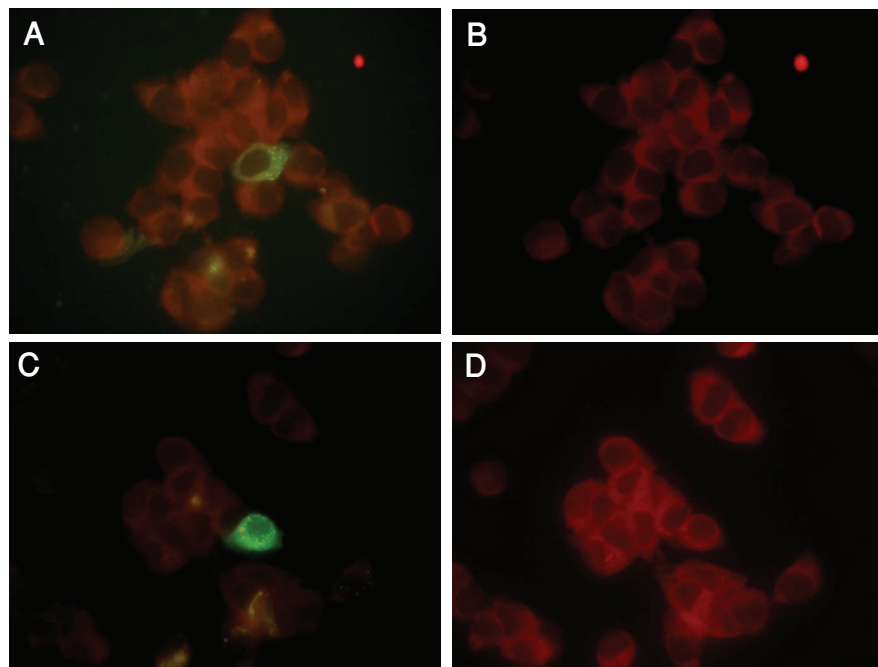
```

شکل ۳: توالی PEP cDNA. توالی نوکلئوتیدهایی که با زیرخط مشخص شده است جایگاه‌های شکست توسعه آنژیم *Pvu* II می‌باشد. قسمت پر رنگ شده انتهایی توالی SKI است. توالی اسیدآمینه‌های قرار گرفته در مستطیل مربوط به زنجیره‌های آبگریز است. توالی اسیدآمینه‌هایی که با زیرخط پر رنگ مشخص گردیده، دامنه فیبروکنکتین نوع ۳ است.



شکل ۴: (A) آنالیز تراوید اسیدهای آمینه پروتئین PEP با برنامه SMART، همان‌طور که در شکل نشان داده شده است در ساختار این پروتئین یک سیگنال پیتید در ناحیه اسیدهای آمینه ۱ تا ۲۸ یک قطعه درون غشایی در ناحیه اسیدهای آمینه ۱۴۷ تا ۱۶۹ و یک دامنه فیبروکنکتین نوع ۳ در ناحیه اسیدهای آمینه ۳۱ تا ۱۱۱ وجود دارد.

(B) بررسی میزان آبگریزی اسیدهای آمینه موجود در پروتئین PEP با استفاده از نرم‌افزار Bio Edit، همان‌طور که در شکل نشان داده شده است در ساختار این پروتئین دو زنجیره آبگریز اسیدآمینه‌های شماره ۱۵۲ تا ۱۶۹ و ۱۲ تا ۳۲ وجود دارد.



شکل ۵: ترانس‌فکت سلول‌ها با پلاسمید EGFP-PEP و رنگ‌آمیزی با آنتی‌بادی پراکسیزومی کاتالاز. نقاط سبز رنگ پراکنده درون سلول‌ها، بیان پروتئین EGFP-PEP (A، B)، نقاط قرمز رنگ پراکنده درون سلول‌ها رنگ‌آمیزی آنزیم کاتالاز با آنتی‌بادی اولیه اختصاصی کاتالاز و آنتی‌بادی ثانویه Texas Red را تشان می‌دهد (C، D). الگوی مکانی مشابه این دو رنگ بیانگر پراکسیزومی بودن PEP می‌باشد. بار برابر با ۲۰ میکرومول است.

در جمعیتی از سلول CHO بیانگر وارد شدن پلاسمید نوترکیب به درون این سلول‌ها و بیان پلاسمید در سلول‌های مذکور می‌باشد (A). علاوه بر این تشابه الگوی پراکنده‌گی فلورسنت مریبوط به EGFP با کاتالاز پراکسیزومی (B)، بیانگر وارد شدن این پروتئین به درون پراکسیزوم‌ها می‌باشد.

بحث

تاکنون استفاده از روش‌های ژنتیکی و پروتئومیکسی به شناسایی ۳۲ نوع پروتئین پراکسین که لازمه بیوژنر پراکسیزوم‌ها می‌باشد، منجر شده است. بعضی از پراکسین‌ها مسئول تقسیم شدن پراکسیزوم و تشکیل پراکسیزوم‌های جدیدتر از پراکسیزوم‌های قبلی می‌باشدند اما بیشتر آنها در انتقال و هدایت پروتئین‌های ماتریکس پراکسیزومی نقش دارند (۶، ۱۷). بسیاری از بیماری‌های پراکسیزومی به علت نقص در انتقال پروتئین‌های ماتریکس پراکسیزومی به درون پراکسیزوم می‌باشدند و هر چه تعداد پروتئین‌هایی واقع در این ارگانل بیشتر شناخته شود احتمالاً ارتباط بیشتری بین آنها و بیماری‌های انسانی با منشاء پراکسیزومی یافت می‌شود.

استراتژی کلونینگ با استفاده از وکتور بیانی یک روش مؤثر در درک فعالیت ژن‌های مختلف می‌باشد (۱۸). از آنجا که به نظر می‌رسد پروتئین PEP در طی رشد و تکامل جنبین نقش مهمی داشته باشد (۱۶)، جهت مطالعات بیشتر در این زمینه بر آن شدیدم که ابتدا cDNA این ژن را کلون نماییم. در این مطالعه PEP در وکتور بیانی pEGFP-C1 کلون و به دنبال بیان آن در سلول‌های پستانداران جنبه‌های مختلفی همچون محل قرارگیری درون ارگانلی این پروتئین مورد بررسی قرار گرفت.

بررسی ساختار پروتئین PEP
برای بررسی ساختار احتمالی پروتئین PEP از برنامه‌های مختلف بیوانفورماتیکی استفاده شد. نتایج آنالیز PEP با برنامه TMpred نشان دهنده احتمال بالای وجود دوساختار آلفا هیلیکس غشایی در دو ناحیه بین اسیدآمینه‌های ۱۲ تا ۳۱ و ۱۵۲ تا ۱۷۰ می‌باشد. هم‌چنین به منظور تایید نتایج حاصل از مطالعه بالا از برنامه دیگری به نام SMART که با آن می‌توان دامنه‌های مختلف پروتئین را شناسایی نمود، استفاده گردید. آنالیز ترادف اسیدهای آمینه پروتئین PEP با این برنامه نشان داد که در ساختار این پروتئین یک سیگنال پیشید در ناحیه اسیدهای آمینه ۱ تا ۲۸ و یک قطعه درون غشایی در ناحیه اسیدهای آمینه ۱۴۷ تا ۱۶۹ و یک دامنه فیرونکتین نوع ۳ در ناحیه اسیدهای آمینه ۳۱ تا ۱۱۱ وجود دارد (شکل ۴A). با استفاده از نرم‌افزار Bio Edit میزان آبگریزی اسیدهای آمینه موجود در پروتئین PEP با روش Kyte and Doolittle با خوانش ۱۳ اسیدآمینه در هر پنجره انجام گرفت و مشخص گردید که در ساختمان این پروتئین دو زنجیره آبگریز اسیدآمینه‌های شماره ۱۵۲ تا ۱۶۹ و ۱۲ تا ۳۲ وجود دارد (شکل ۴B).

ردیابی پروتئین پراکسیزومی PEP
از آنجا که در انتهای کربوکسیل پروتئین PEP سیگنال نشانه مشابه PTS1 وجود دارد، انتظار می‌رود این پروتئین به پراکسیزوم‌ها وارد شود و با قرار گرفتن به دنبال EGFP در یک قالب خوانشی، بتوان آن را ردیابی کرد. همان طور که در شکل ۵ نشان داده شد، رنگ سبز فلورسنت EGFP

دیده می شود. این دو دامنه که به احتمال زیاد دارای ساختار آلفا هلیکس می باشند، یانگر وجود دامنه های درون غشایی فرضی در داخل این پروتئین است. در نتیجه می باید مطالعات بیشتری بر روی غشایی بودن پروتئین PEP صورت بگیرد. به علاوه این پروتئین در انتهای خود دارای پپتید SKI مشابه پپتید SKL - که مسئول هدایت پروتئین های ماتریکسی به داخل پراکسیزوم است - می باشد.

نتیجه گیری

نتایج حاصل از مطالعات فریر مارتینز روی سلول های C2C12 و ۲۹۳ و Ala-T1 و HepG2 نشان داد که پروتئین PEP متصل شده به EGFP به درون پراکسیزوم وارد می گردد (۱۶). در مطالعه حاضر نیز جای گیری پروتئین PEP متصل به EGFP درون اندامک پراکسیزومی سلول CHO تایید گردید. البته مطالعات آینده با استفاده از حذف پپتید SKI و بررسی جای گیری درون سلولی پروتئین PEP فاقد SKI می تواند به صورت کاملی تایید کننده نقش این سیگنال هدایتی در انتقال پروتئین PEP به درون پراکسیزومها باشد.

تقدیر و تشکر

بخش عمده هزینه های انجام این پروژه از طرح مصوب پژوهشکده رویان با عنوان "بررسی فاکتورهای ژنتیکی لازم برای پراکسیزوم در تمایز سلول های عصبی" به تاریخ ۸۵/۰۱/۰۸ و بخش دیگر از طرح مصوب دانشگاه اصفهان با عنوان "کلونینگ و ارزیابی عملکرد ساختار ژن پروتئین پراکسیزومی موش" به شماره ۸۵۱۰۱۷ به تاریخ ۸۵/۱۰/۱۷ تامین گردید.

References

1. Ferrer I, Kapfhammer J.P, Hindelang C, Kemp S, Troffer-Charlier N, Broccoli V, et al. Inactivation of the peroxisomal ABCD2 transporter in the mouse leads to late-onset ataxia involving mitochondria, Golgi and endoplasmic reticulum damage. *Hum Mol Genet*. 2005; 14(23): 3565-3577.
2. Furuki S ,Tamura S ,Matsumoto N ,Miyata N, Moser A, Moser HW, et al. Mutations in the peroxin Pex26p responsible for peroxisome biogenesis disorders of complementation group 8 impair its stability, peroxisomal localization, and interaction with Pex1p-Pex6p complex. *J Biol Chem*. 2006; 281(3): 1317-1323.
3. Sheikh FG, Pahan K, Khan M, Barbosa E, Singh I. Abnormality in catalase import into peroxisomes leads to severe neurological disorder. *Proc Natl Acad Sci USA*. 1998; 95: 2961-2966.
4. Shimizu N, Itoh R, Hirono Y, Otera H, Ghaedi K, Tateishi K, et al. The peroxin Pex14p: cDNA cloning by functional complementation on a Chinese hamster ovary cell mutant, characterization, and functional analysis. *J Biol Chem*. 1999; 274(18): 12593-12604.
5. Singha I, Paintlia AS, Khana M, Stanislaus R, Paintlia MK, Haqa E, et al. Impaired peroxisomal function in the central nervous system with inflammatory disease of experimental autoimmune encephalomyelitis animals and protection by lovastatin treatment. *Brain Res*. 2004; 1022(1-2): 1-11.
6. Brown LA, Baker A. Peroxisome biogenesis and the role of protein import. *J Cell Mol Med*. 2003; 7(4):388-400.
7. Ghaedi K, Tamura S, Okumoto K, Matsuzono Y, Fujiki Y. The peroxin Pex3p initiates membrane assembly in peroxisome biogenesis. *Mol Biol Cell*. 2000; 11(6): 2085-2102.
8. Michelakakis HM, Zafeiriou DI, Moraitou MS, Gootjes J, Wanders RJ. PEX1 deficiency presenting as leber congenital amaurosis. *Pediatr Neurol*. 2004; 31(2): 146-149.
9. Ofman1 R, Speijer D, Leen R ,Wanders R JA .Proteomic analysis of mouse kidney peroxisomes: identification of RP2p as a peroxisomal nudix hydrolase with acyl-coenzyme A diphosphatase activity. *Biochem J*. 2006; 393(2): 537-543.
10. Shimozawa N, Suzuki Y, Zhang Z, Imamura A, Ghaedi K, Fujiki Y, Kondo N. Identification of PEX3 as the gene mutated in a zellweger syndrome patient lacking peroxisomal remnant structures. *Hum Mol Genet*. 2000; 19(13): 1995-1999.
11. Baker A, Charlton W, Johnson B, Lopez-Huertas E, Oh J, Sparkes I, et al. Biochemical and molecular approaches to understanding protein import into peroxisomes. *Biochem Soc Trans*. 2000; 28(4):499-504.
12. Baker A, Sparkes IA. Peroxisome protein import: some answers, more questions. *Curr Opin Plant Biol*. 2005; 8(6): 640-647.
13. Elgersma Y, Vos A, van den Berg M, Van Roermund C.W, Van der Sluijs P, Distel B, et al. Analysis of the carboxyl terminal peroxisomal targeting signal 1 in a homologous context in *Saccharomyces cerevisiae*. *J Biol Chem*. 1996; 271(42): 26375-2682.

استخراج RNA برای کلونینگ PEP cDNA از بافت قلب موش صورت گرفت. مطالعات قبلی نشان می دهد که در بافت قلب، بیان این ژن همانند بافت عضله اسکلتی و مغز از سایر بافت های دیگر بیشتر است (۱۶). به منظور بررسی تایید cDNA RT-PCR برای قطعه ای از ژن ۵ β -tubulin Housekeeping Gene بیان شده در تمام بافت ها انجام شد (۱۹). برش با آنزیم *Pvu* II cDNA کلون شده همان PEP cDNA می باشد. بررسی ترادف بازه ای این cDNA نشان می دهد که Open Reading Frame (ORF) ژن PEP باز ۶۲۰ جفت باز کد کننده ۲۰۹ اسید آمینه می باشد. مطالعات بیانفورماتیک با نرم افزارهای مختلف نشان داد که پروتئین PEP دارای یک دامنه مشابه با فیررونکتین نوع ۳ می باشد (از اسید آمینه ۳۱ تا ۱۱۴) که تاکنون در مورد نقش احتمالی این دامنه در پروتئین مورد نظر اطلاعاتی به دست نیامده است. پروتئین های واجد دامنه در فیررونکتین دارای فعالیت های مختلفی در سلول های یوکاریوتی و پروکاریوتی می باشند که از آن جمله می توان به نقش این پروتئین ها در اتصالات سلولی، گیرنده های غشایی و همچنین در ساختمان اسکلت سلولی اشاره نمود (۲۰-۲۳). بنابراین حضور این دامنه در ساختمان پروتئین PEP نشان دهنده وجود برهم کنش احتمالی این پروتئین با دیگر پروتئین های ناشناخته می باشد. این ایده با توجه به نقش اسکلت سلولی در مورفوژنر پراکسیزوم و پراکنده گی داخل سلولی این ارگانل تقویت می گردد (۲۴). لذا مطالعات بیشتر و بررسی نقش احتمالی پروتئین PEP در این مورد ضروری به نظر می رسد. مطالعات بیانفورماتیک نشان داد که در ساختمان این پروتئین دو دامنه آب گریز (از اسیدهای آمینه شماره ۱۲ تا ۳۲ و ۱۵۹ تا ۱۶۹)

14. Kamigaki A, Mano S, Terauchi K, Nishi Y, Tachibe Kinoshita Y, Nito K, et al. Identification of peroxisomal targeting signal of pumpkin catalase and the binding analysis with PTS1 receptor. *Plant J.* 2003; 33(1): 161-175.
15. Mukai S, Ghaedi K, Fujiki Y. Intracellular localization, function, and dysfunction of the peroxisome-targeting signal type 2 receptor, Pex7p, in mammalian cells. *J Biol Chem.* 2002; 277(11): 9548-9561.
16. Ferrer-Martínez A, Ruiz-Lozano P, Chien KR. Mouse PeP: A novel peroxisomal protein linked to myoblast differentiation and development. *Dev Dyn.* 2002; 224(2): 154-167.
17. Heiland I, Erdmann R. Biogenesis of peroxisomes: topogenesis of the peroxisomal membrane and matrix proteins. *FEBS J.* 2005; 272(10): 2362-2372.
18. Nyborg AC, Ladd TB, Jansen K, Kukar T, Golde TE. Intramembrane proteolytic cleavage by human signal peptide peptidase like 3 and malaria signal peptide peptidase. *FASEB J.* 2006; 20(10): 1671-1679.
19. Bagutti C, Wobus A.M, Fässler R, Watt F.M. Differentiation of embryonal stem cells into keratinocytes: comparison of wild-type and beta 1 integrin-deficient cells. *Dev Biol.* 1996; 179(1): 184-96.
20. Amodeo P, Fraternali F, Lesk AM, Pastore A. Modularity and homology: modelling of the titin type I modules and their interfaces. *J Mol Biol.* 2001; 311: 283-296.
21. Huang H, Sylvan J, Jonas M, Barresi R, So PT, Campbell KP, Lee RT. Cell stiffness and receptors: evidence for cytoskeletal subnetworks. *Am J Physiol Cell Physiol.* 2005; 288(1): 72-80.
22. Li L, Huang HH, Badilla CL, Fernandez JM. Mechanical unfolding intermediates observed by single-molecule force spectroscopy in a fibronectin type III module. *J Mol Biol.* 2005; 345(4):816-826.
23. Teufel A, Malik N, Mukhopadhyay M, Westphal H. Frcp1 and Frcp2, two novel fibronectin type III repeat containing genes. *Gene.* 2002; 297(1-2): 79-83.
24. Doniwa Y, Arimura S.I, Tsutsumi N. Mitochondria use actin filaments as rails for fast translocation in *Arabidopsis* and tobacco cells. *Plant Biotech.* 2007; 24: 441-447.